

## Fortschritte in der Fertigungswissenschaft und -technologie

# Modellierung der Kinematik zweier **Roboter mit Denavit-Hartenberg-Notation**

### Andrzej Burghardt, Wincenty Skwarek

aAbteilung für Angewandte Mechanik und Robotik, Technische Universität Rzeszow bJohannes Paul II. Technischer und allgemeinbildender Schulkomplex Nr. 4, Jaslo, Polen

Zusammenfassung Dieser Artikel enthält eine Beschreibung und Methodik zum Aufbau eines Kinematikmodells für die Bildung zweirädriger mobiler Roboter, die einen Balken transportieren, unter Verwendung der Denavit-Hartenberg-Notation. Die einfachen und inversen Kinematikaufgaben dieser Formation wurden gelöst. Lösungen kinematischer Aufgaben werden in Knotenkoordinaten und globalen Koordinaten dargestellt. Die erhaltenen Ergebnisse wurden mit dem Matlab-Simulink-Paket zusammen mit einer Animation der Lösung mithilfe eines programmierten Emulators der Roboterarbeit simuliert.

Schlüsselwörter Roboterbildung, Kinematik, Denavit-Hartenberg-Notation, Transformationsmatrix

#### 1. Einleitung

Derzeit werden autonome Fahrzeuge zunehmend zum Transport von Gegenständen in Fabrikhallen, Lagerhallen oder Lagerplätzen eingesetzt. Viele der zu transportierenden Großgüter stellen ein Problem dar, da ein einzelner Roboter sie nicht transportieren kann und der Bau spezieller Transportmaschinen Rollroboter (WMR) basierend auf der DH-Notation vorgestellt. Es wird davon möglicherweise nicht wirtschaftlich ist. Die Idee, Gegenstände durch Formationen aus mehreren Robotern zu transportieren, die nach Erledigung einer bestimmten Aufgabe in einer anderen Konfiguration für die nächsten Aufgaben eingesetzt werden können, stammt aus der Welt der Natur. Dieser Ansatz ist wirtschaftlich gerechtfertigt, da ein bestimmter Robotertyp für verschiedene Zwecke eingesetzt werden kann.

Das Thema des Transports von Objekten durch Roboterformationen wurde in wissenschaftlichen Arbeiten wiederholt behandelt, beispielsweise in Arbeiten zum Problem des Schiebens einer Kiste [1], des Schiebens eines erheblichen Gewichts, das über eine eigene Stütze in Form von Rädern verfügt [2], Transport eines Objekts, das sich über den Robotern befindet [3], Bewegen eines Objekts durch benachbarte Roboter [4] oder Balkentransport durch zwei Roboter [5]. Beim Aufbau eines Steuerungssystems ist es notwendig, das mathematische Modell der Kinematik des untersuchten Transportsystems zu kennen, das zur Erstellung eines mathematischen Modells verwendet wird, das die Dynamik dieses Systems beschreibt, oder zum Aufbau eines Steuerungssystems, das allein auf der Kinematik basiert.

Die Kinematik kann mit den sogenannten klassischen Methoden beschrieben werden, die auf der Erstellung eines Geschwindigkeitsplans für bestimmte Zweckertagen die Roboter antreiben.

charakteristische Formationspunkte [6] oder unter Verwendung der sogenannten Denavit-Hartenberg (DH) [7]-Notation, die sehr häufig zur Beschreibung der Kinematik mehrgliedriger Systeme verwendet wird und in der Robotik weit verbreitet ist.

In diesem Artikel wird das Problem des Strahltransports durch zwei AmigoBotausgegangen, dass die Roboter den Strahl entlang der horizontalen XY- Ebene transportieren, wie in Abbildung 1 dargestellt.

Die Aufgabe der Roboter besteht darin, einen Balken mit einer Länge von I zu transportieren. Die Roboter sind an den Punkten H1 und H2 über Schraubverbindungen mit dem Träger verbunden und bilden kinematische Paare fünften Grades. In der Formation werden charakteristische Punkte unterschieden: M, charakteristischer Punkt der Formation ist der Mittelpunkt des transportierten Strahls; E, temporares Rotationszentrum der Formation; A1 und A2, Punkte auf der Achse der Räder einzelner Roboter in der Mitte zwischen den Rädern: B1, C1 und C2, Punkte, die die Mittelpunkte einzelner Roboter bleiben. B2, mit Räder; und K1, P1, K2 und P2, Kontaktpunkte einzelner Roboterräder dem Boden. Es werden auch charakteristische Werte unterschieden: xM, yM, Koordinaten des charakteristischen Punktes der Formation im Basissystem

(stationär); ÿ, Rotationswinkel des transportierten Strahls in Bezug auf das Grundsystem: I

Entfernung der Abstand zwischen Punkten und A oder B und C: . Strahlbefestigungspunkt mit dem Roboter von Punkt A; r, Radius des

Roboterantriebsrads; ÿ1f, ÿ2f, Drehwinkel einzelner Roboter relativ zum transportierten Strahl (Formationssystem); ÿ11, ÿ21, ÿ12, ÿ22, Drehwinkel der

\*Korrespondierender Autor: Andrzei Burghardt, Wincenty Skwarek \*E-Mail: andrzejb@prz.edu.pl, wincentyskwarek@op.pl



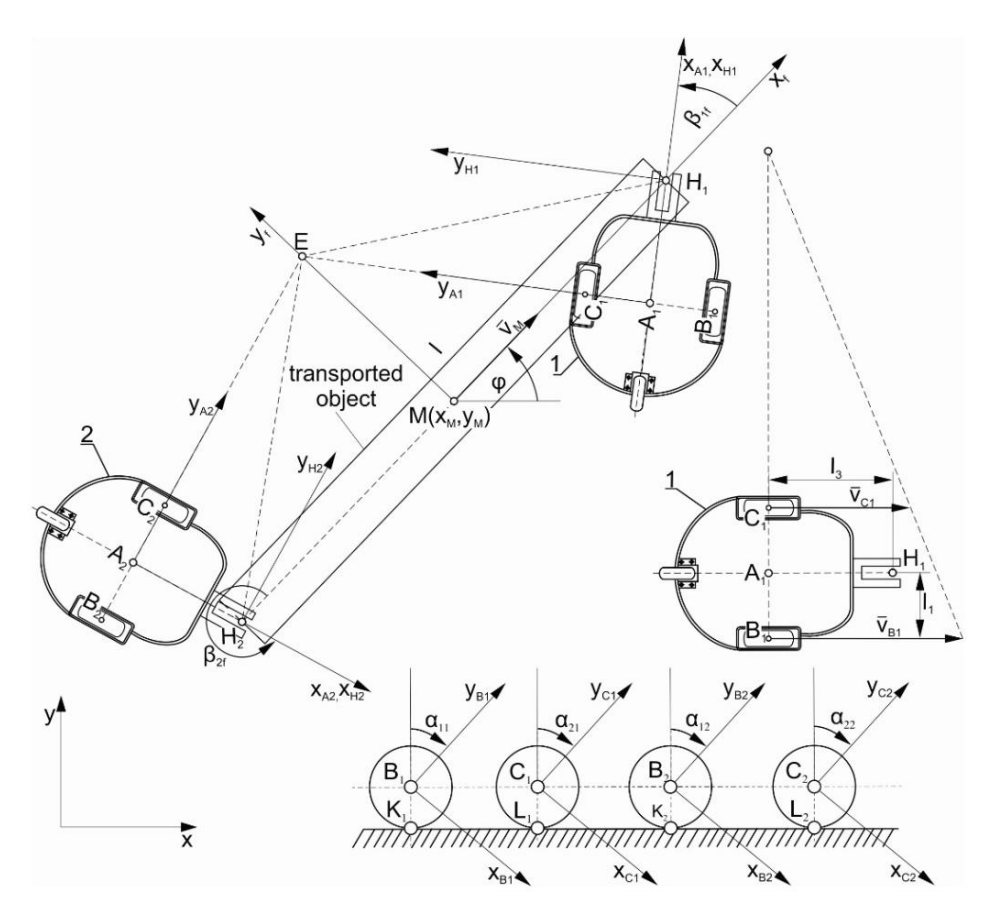


Abbildung 1. Bildung zweirädriger mobiler Roboter, die einen Balken transportieren.

Für diese Winkel wurden folgende Symbole übernommen: Die erste Ziffer gibt die Nummer des Rades und die zweite Ziffer die Nummer des Roboters an.

Die verwendeten AmigoBot WMRs verfügen neben zwei Antriebsrädern über ein selbsteinstellendes Stützrad, auf das jedoch bei der Erstellung des Modells verzichtet wurde, da davon ausgegangen wird, dass es einen vernachlässigbaren Einfluss auf die Kinematik des Gesamtsystems hat.
3. Leistung von Bewegungsgleichungen basierend auf der

## 2. Formulierung kinematischer Aufgaben

Die erste Aufgabe ist eine einfache Kinematikaufgabe, deren Zweck in diesem Fall darin besteht, die kinematischen Parameter des transportierten Strahls in Form von Geschwindigkeit und Ort des M-Punkts sowie der Winkelgeschwindigkeit und dem Drehwinkel des zu bestimmen vorausgesetzt, dass die kinematischen Parameter der Antriebe bekannt sind. Die zweite Aufgabe ist die inverse Kinematik-Aufgabe, die darin besteht, die kinematischen Parameter der Antriebe zu bestimmen, vorausgesetzt, dass die lineare Geschwindigkeit des charakteristischen Punkts der Formation bekannt ist, in diesem Fall die Geschwindigkeit des M-Punkts und die Winkelgeschwindigkeit des transportierten Strahls

Die Lösung der inversen Kinematikaufgabe wird zum Aufbau des Steuerungssystems verwendet und ist daher in der Regel wichtiger als die Lösung der einfachen Kinematikaufgabe, mit der, wie im Fall der Autoren, ein Emulator der Roboterbildung aufgebaut werden kann arbeiten.

# **DH-Notation**

Wenn mit der Generierung von Bewegungsgleichungen begonnen wird, Durch die Analyse der Formationskinematik werden zwei Aufgaben gelöst. besteht der erste Schritt darin, jedem charakteristischen Punkt der WMR-Formation, die den Strahl transportiert, und einem stationären Referenzsystem, dem sogenannten Basissystem, lokale Referenzsysteme zuzuordnen Nach der Definition der Systeme wurden Transformationsmatrizen zwischen diesen Systemen eingeführt.

2ÿ

ÿ2ÿÿÿ2

13

(9)

13

3ÿ<sub>2</sub>∂ 3ÿ 33 0 0 1 0ÿ 0ÿ Gleichung (1) zeigt die Transformations natrix des Systems 0, das dem **1**ÿ₁\$ 1ÿ 1ÿ 1 Strahl am Punkt M zum Basissystem zugeordnet ist. **ÿ1ÿÿÿ1 ÿ1ÿÿÿ1**ÿ0 1ÿ<sub>1</sub>ў 1ÿ 1ÿ1 (10)0ÿ 0,0 (2) ÿ 1 ÿ 1 10 0 0 2ÿ 2 2∛ 2 (11)8 0 ÿ1ÿÿÿ1 (12)

1ÿ 2 Abhängigkeiten (9)-(12) sind Transformationsmatrizen von Referenzsystemen, die mit den Punkten B1, C1, B2 und C2 zum Basissystem verknüpft sind.

ÿ 2 ÿ ÿ ÿ 2 Als nächstes wurden die Koordinatenvektoren der Kontaktpunkte der Roboterräder mit dem Boden in lokalen Bezugssystemen bestimmt, die mit den progresse der progresse d Die nächsten beiden in den Abhängigkeiten (2) und (3) geschriebenen ÿ 2 ÿ ÿ 3 ÿ 2 ÿ2ÿÿ matrizen zwischen den Punkten H1 und H2 tern im System Matrizen sind die Transfi den einzelnen

(3)

0100 001 (4)  $_{1}^{1\ddot{y}\ 1\ 1\ddot{y}} = \ddot{y}\ 1\ 0\ 0\ 0\ 0$ 11 ÿ

0

0

10

0 1

Abhängigkeit (4) stellt die Transformationsmatrix vom (11) (-System bei Ai eines gegebenen Roboters, 0, dar 21 Wo ist die Roboternummeig? 1

Die obigen vier Gleichungen (5)-(8) zeigen die Transformation

Mat iten zwis inen Sys innen, die bet Punktig B1 und B2 zugeordnet sind das dem Punkt zugeordnete System und die den Punkten B2 und C2

zugepredneten Systeme dem Purikt A2 zugeordneten System. Um das System zu transformieren, das einem bestimmten charakteristischen Punkt der WMR-Formation zugeogdnet ist, wird die Transformationsmatrix verweitel (17) bis (17)-(20). Es wurde auch angenommen, dass es keinen Längszwiśchen nacowolgenden Śystemen wurde nach in in das Basissystem zu erhalten

(13)O ӱӱӱ 1 (14)

Ò

Die Geschwindigkeiten sterkontaktpunkte einzelner

mit dem Boden werden durch die Abhängigkeiten beschrieben

Es wurden Abhangigke ten ermit ansformation bestimmen von die mit den Runkter 1ÿ und C2 zum Basissystem, die dans differenziert wurden 3 y 3 1 y y y y y y y y y zum Besissystem, die dans differenziert wurden 3 y 3 1 y y y y y y y y y y zum Bestug zum Zeit ermittell und zusah Male Mill den Abhängigkeiten substituiert y y

und Querschlupf der Roboterräder gab, daher sind die linken Seiten der Gleichungen (17)-(20) Nullvektoren.

Fortschritte in der Fertigungswissenschaft und -technologie 2 Nach Berücksichtigung der früheren Konditionen ist schlussendlich Folgendes élAgegangen: ÿ + 1 ÿ 1 + ÿ + 1 ÿ 3 ÿ + 1 ÿ 1 ÿ ÿ + 1 ÿ 3 0 ÿÿ Ω ÿ**@**ÿ= (21) 1 ÿ ÿ11 1 ÿ ÿ11  $\ddot{y} + 1 \ddot{y} 1 \ddot{y} \ddot{y} + 1 \ddot{y} 3 \ddot{y} 3 \ddot{y} 1 \ddot{y} 3 \ddot{y}$ 0 (22)1 ÿ ÿ21 (23) 0 0 **ÿ@**ÿ = (23)ÿ 2%¥132%j<sup>1</sup>\$<sup>y</sup>¥'\$'\j\<sup>3</sup>2\$j<sup>3</sup>j\<sup>3</sup>1\3;\<sup>3</sup> \$ ¥ \$ \$ ¥ \$ \$ ¥ \$ 1 \$ **3**;8238 9 2 ÿ ÿ12 0 0 0 0 (24) **ÿÿ₽ÿijŶţŸij**ĬÿŸŊŸŸŸŸŸŸŸ¥Ÿ¥¥¥ 2 ÿ ÿ22 2 ÿ ÿ22 Die erhaltenen die den ungen (2) (4) sind kinem die de Gleichungen von ÿ + 1
Bewegung zweier WMR-Formationen, die einen Strahftransportieren, die abhängig Eingabedaten durch Lösen eines einfachen ÿ 1 ÿ gelöst werden kann 4. Lösungÿkihematischer Aufgaberÿ‡į

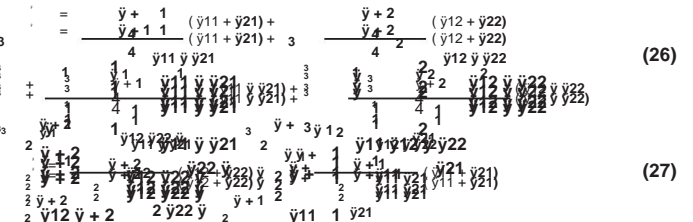
Das gesamte in Abschnitt 3 vorgestellte Berechnungsverfahren wurde mit dem Programm Maple™ durchgeführt, einem sehr praktischen Werkzeug für symbolische und Matrix-Vektor-Berechnungen.

Maple wurde auch zur Ermittlung kinematischer Aufgaben eingesetzt.

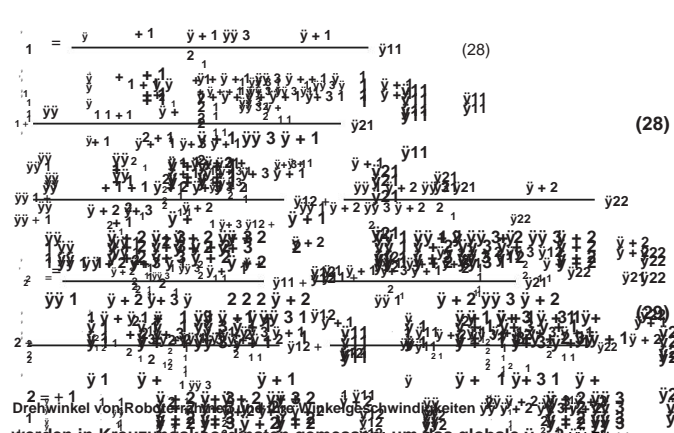
			ÿ	
einfachen Kinemätikaufgäbe	2 ÿ 1 ÿ ÿ 2 ÿ 3 4.1. Lösung der	. 2	ÿÿ	
ÿÿ ÿÿ <sup>ÿ</sup>	2 ÿ 1 ÿ ÿ 2 ÿ 3 2 ÿ 1 ÿ 2 ÿ 3	2	ÿÿ	

2 ÿ ÿ12

Wie in Abschnittý verwähit, besteh (20jetl. jö 20 jn g der einfachen Kinematika y gabe im på glasierten jö g der einfachen Kinematika y gabe im på glasierten jö g der einfachen Kinematika y gabe im på glasierten strahls zu bestimmen, vorausgesetzt, dass die kinematischen Parameter der Antriebe in ÿ ÿ z ÿ 1 ÿ y z ÿ 3 bekannt sind ÿ ÿ ÿ z j 1 ÿ y z j 3 j bekannt sind ÿ ÿ ÿ z j 1 ÿ y z j 3 j y 6 j y z j 1 y z j 3 j y 6 j y 2 j 1 y z j 3 j y 6 j y 2 j 3 j y 6 j y 6 j y 6 j y 6 j y 7 j y 7 j y 7 j y 7 j 3 j y 6 j y 6 j y 6 j y 7 j y 7 j y 7 j 3 j y 6 j y 6 j y 7 j y 7 j y 7 j 3 j y 6 j y 6 j y 7 j y 7 j y 7 j y 7 j y 7 j y 7 j y 7 j y 7 j y 7 j y 7 j y 7 j y 7 j y 7 j y 7 j y 7 j y 7 j y 7 j y 7 j y 7 j y 7 j y 7 j y 7 j y 7 j y 7 j y 7 j y 7 j y 7 j y 7 j y 7 j y 7 j y 7 j y 7 j y 7 j y 7 j y 7 j y 7 j y 7 j y 7 j y 7 j y 7 j y 7 j y 7 j y 7 j y 7 j y 7 j y 7 j y 7 j y 7 j y 7 j y 7 j y 7 j y 7 j y 7 j y 7 j y 7 j y 7 j y 7 j y 7 j y 7 j y 7 j y 7 j y 7 j y 7 j y 7 j y 7 j y 7 j y 7 j y 7 j y 7 j y 7 j y 7 j y 7 j y 7 j y 7 j y 7 j y 7 j y 7 j y 7 j y 7 j y 7 j y 7 j y 7 j y 7 j y 7 j y 7 j y 7 j y 7 j y 7 j y 7 j y 7 j y 7 j y 7 j y 7 j y 7 j y 7 j y 7 j y 7 j y 7 j y 7 j y 7 j y 7 j y 7 j y 7 j y 7 j y 7 j y 7 j y 7 j y 7 j y 7 j y 7 j y 7 j y 7 j y 7 j y 7 j y 7 j y 7 j y 7 j y 7 j y 7 j y 7 j y 7 j y 7 j y 7 j y 7 j y 7 j y 7 j y 7 j y 7 j y 7 j y 7 j y 7 j y 7 j y 7 j y 7 j y 7 j y 7 j y 7 j y 7 j y 7 j y 7 j y 7 j y 7 j y 7 j y 7 j y 7 j y 7 j y 7 j y 7 j y 7 j y 7 j y 7 j y 7 j y 7 j y 7 j y 7 j y 7 j y 7 j y 7 j y 7 j y 7 j y 7 j y 7 j y 7 j y 7 j y 7 j y 7 j y 7 j y 7 j y 7 j y 7 j y 7 j y 7 j y 7 j y 7 j y 7 j y 7 j y 7 j y 7 j y 7 j y 7 j y 7 j y 7 j y 7 j y 7 j y 7 j y 7 j y 7 j y 7 j y 7 j y 7 j y 7 j y 7 j y 7 j y 7 j y 7 j y 7 j y 7 j y 7 j y 7 j y 7 j y 7 j y 7 j y 7 j y 7 j y 7 j y 7 j y 7 j y 7 j y 7 j y 7 j y 7 j y 7 j y 7 j y 7 j y 7 j y 7 j y 7 j y 7 j y 7 j y 7 j y 7 j y 7 j y 7 j y 7 j y 7 j y 7 j y 7 j y 7 j y 7 j y 7 j y 7 j y 7 j y 7 j y 7 j y 7 j y 7 j y 7 j y 7 j y 7 j y 7 j y 7 j y 7 j

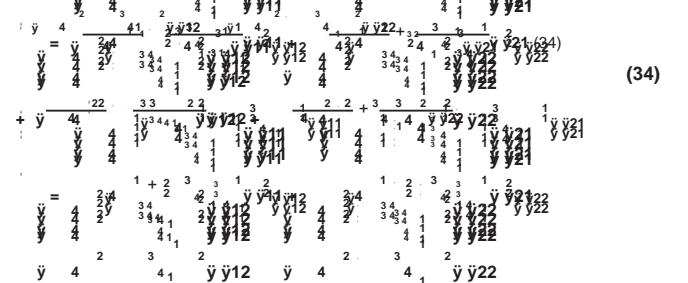


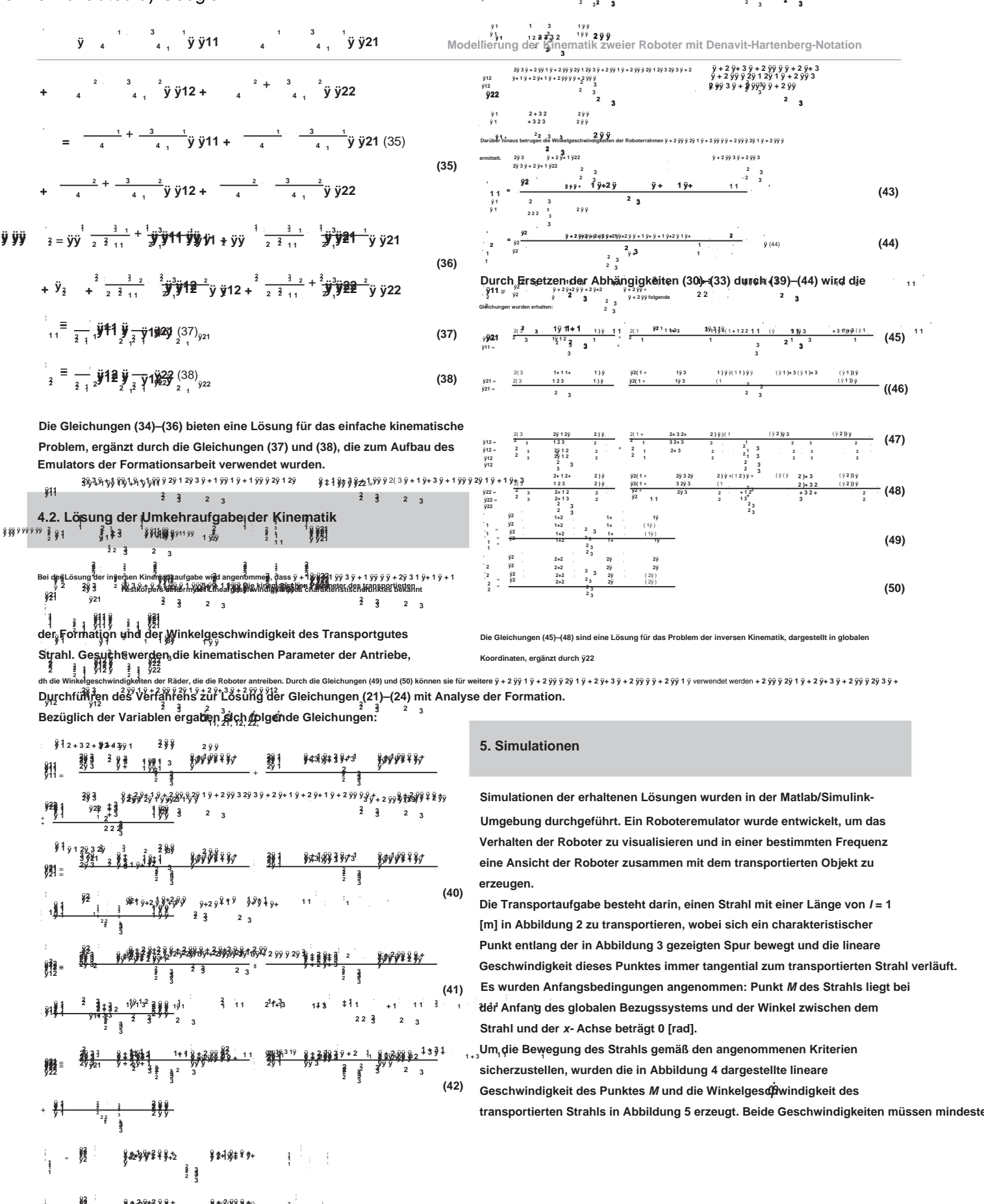
y + ÿ12 ÿ22 ÿ Zusätzlich wurden die Winkelgeschwindigkeiten der Roboter ermittelt



Drenwinkel von Robe fram de Nord fram de Nor

$$\begin{bmatrix} 2 \\ 2 \end{bmatrix} \stackrel{?}{=} 4 \stackrel{?}{y}^{2} + \frac{1}{2} \stackrel{1}{4} + \frac{1}{2} \stackrel{?}{y} = \frac{3}{2} \stackrel{?}{y} = \frac{1}{2} \stackrel{?}{y} \stackrel{?}{y}$$





1#3

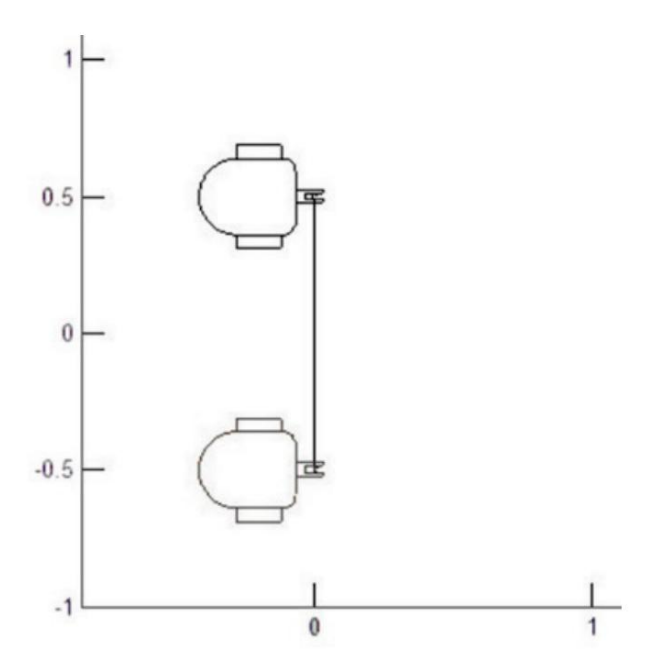


Abbildung 2. Definition der Transportaufgabe.

Mit den so gewählten Parametern lassen sich folgende Bewegungsphasen unterscheiden, von denen sich mehrere wiederholen: Beschleunigung, Geradeausfahrt mit eingestellter Geschwindigkeit, Kurveneinfahrt, Kurvenfahrt und Bremsen. Die Aufgabe des in Simulink erstellten Modells bestand darin, die
Aufgabe der inversen Kinematik zu lösen, die zur Bestimmung der
Winkelgeschwindigkeit der Räder führte, die die Roboter antreiben.
Nach Durchführung der Simulation wurden die Ergebnisse für den in
Abbildung 6 gezeigten ersten Roboter und den in Abbildung 7 gezeigten zweiten Rob
Das mit dem Emulator der Roboterarbeit erhaltene Bild ist in Abbildung
8 dargestellt.

Nach der Analyse der mit dem Arbeitsemulator erhaltenen Animation der Roboterbewegung und des empfangenen Bildes der Animationsaufzeichnung wurde nicht festgestellt, dass sich die Roboter falsch bewegen könnten. Während der Bewegung wurde kein Drift der Roboter oder eine falsche Ausrichtung der Roboterrahmen beobachtet, was die Richtigkeit der erhaltenen Lösungen beweist.

#### 6. Fazit

Die in diesem Artikel vorgestellte Methode der Kinematik einer WMRFormation unter Verwendung der DH-Notation ist universell und
bequem zu implementieren. Ein weiterer Vorteil ist die Möglichkeit,
Software für symbolische und Matrix-Vektor-Berechnungen zu
verwenden, was den Prozess der Erstellung kinematischer Gleichungen
im Vergleich zu anderen Methoden erheblich beschleunigt. In dieser
Arbeit wurde eine Formation bestehend aus zwei Robotern modelliert,
es ist jedoch sehr einfach, das Problem auf N-Roboter zu erweitern,
die ein sperriges Objekt transportieren. Die erhaltenen Ergebnisse
stimmen mit den Ergebnissen anderer Methoden überein [9]. Weitere Schlussfolgeru

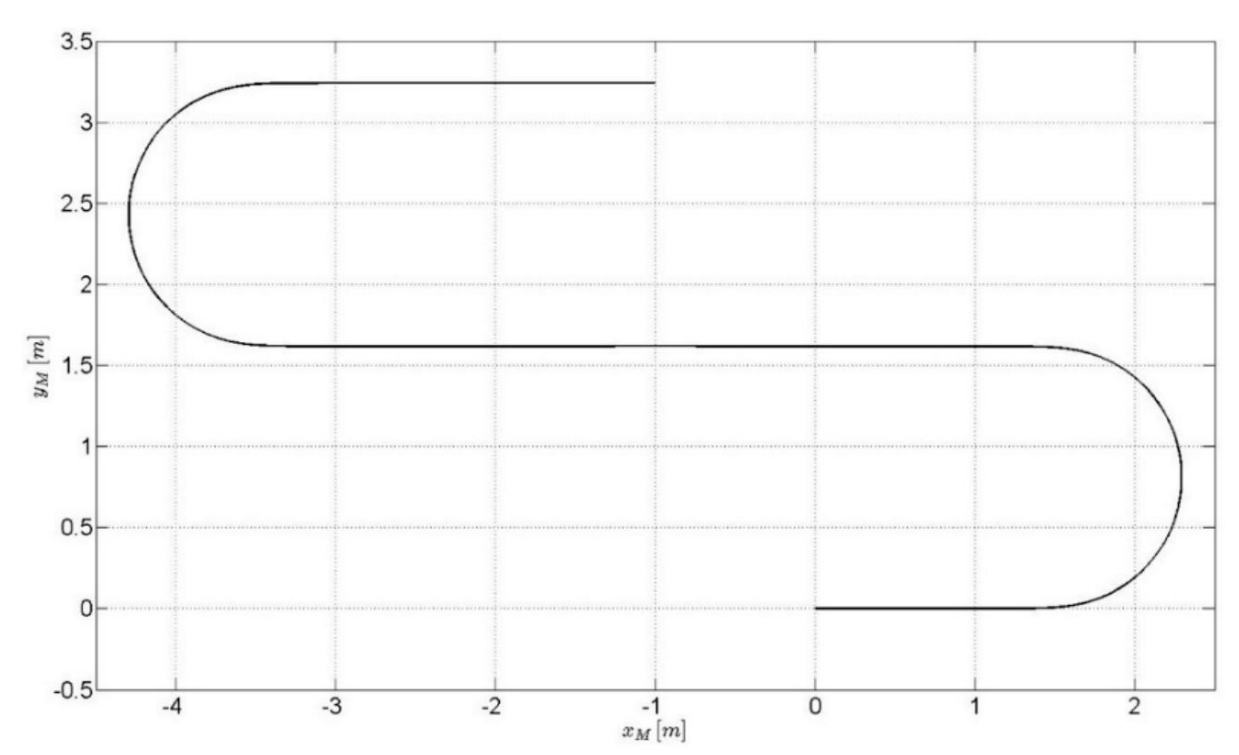


Abbildung 3. Flugbahn des M -Punktes

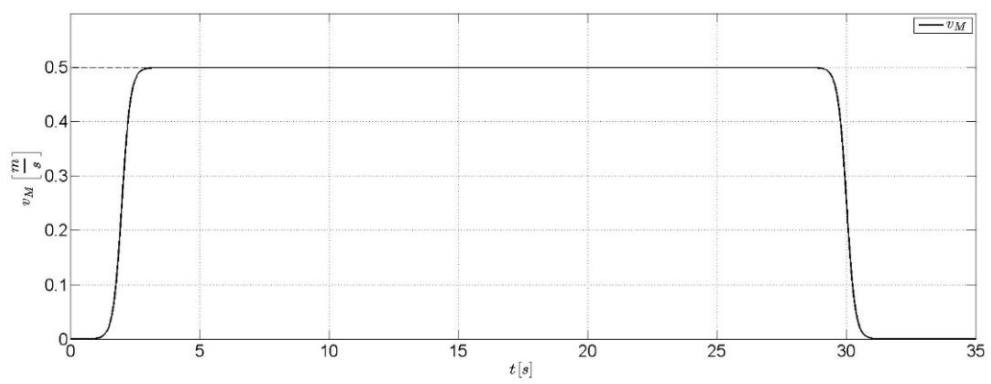


Abbildung 4. Geschwindigkeit des M- Punktes.

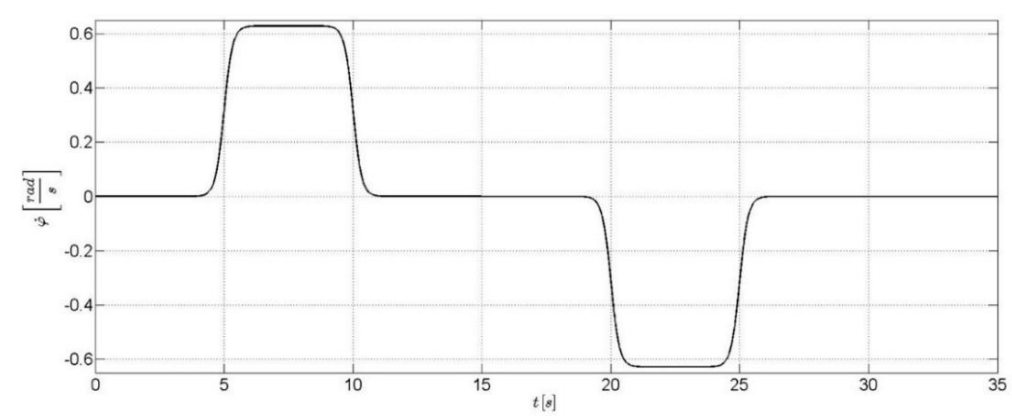


Abbildung 5. Winkelgeschwindigkeit des transportierten Strahls.

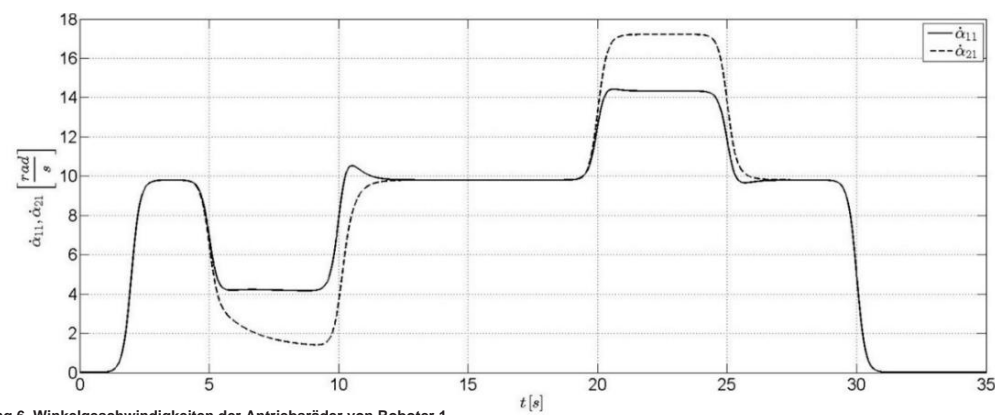


Abbildung 6. Winkelgeschwindigkeiten der Antriebsräder von Roboter 1.

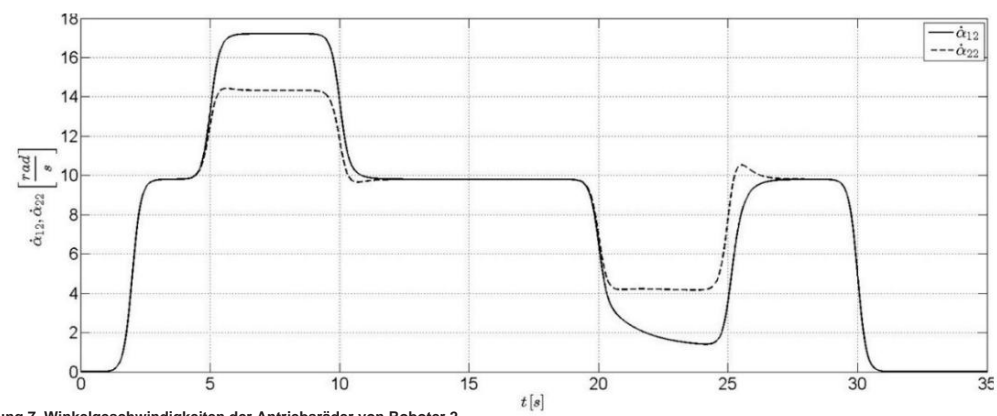


Abbildung 7. Winkelgeschwindigkeiten der Antriebsräder von Roboter 2.

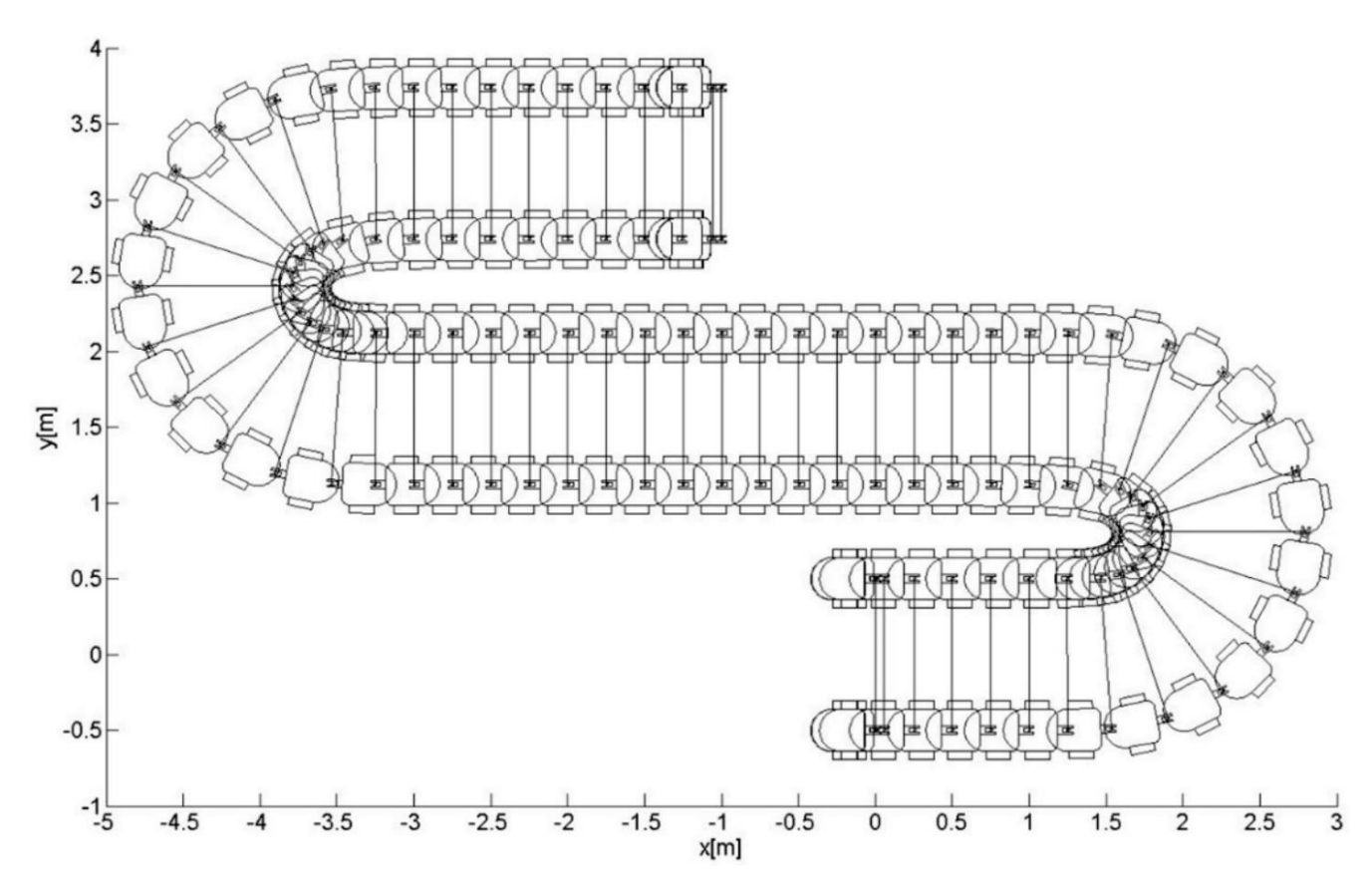


Abbildung 7. Winkelgeschwindigkeiten der Antriebsräder von Roboter 2.

zielte auf den Bedarf an weiterer Forschung zur Interaktion von Robotern mit dem transportierten Objekt und der Umgebung ab. Zusammenfassend lässt sich sagen, dass das erhaltene Kinematikmodell und die Methodik zu seiner Erlangung zur Erforschung komplexerer Formationen sowie zur Erstellung eines Dynamikmodells verwendet werder 15 don't 16 HATIB, et al.: Fahrzeug-Arm-Koordination und dezentrale

### **Verweise**

- [1] C. ZIELINSKI, P. TROJANEK: Stigmergische Kooperation autonomer Roboter. J Mech. Mach. Theory, 44(2009), 656-670.
- [2] N. MIYATA, et al.: Kooperativer Transport durch mehrere mobile Ro Bots in unbekannten statischen Umgebungen im Zusammenhang mit Echtzeit Aufgabenzuweisung. IEEE Trans Rob Autom., 18(2002), 769-780.
- [3] K. KOSUGE, et al.: Transport eines einzelnen Objekts durch zwei De zentralgesteuerte nichtholonome mobile Roboter. Proz. IEEE In ter. Konf. Robotik und Automatisierung, Leuven 1998, 4, 2989-2994.

- [4] Z.-D. WANG, E. NAKANO, T. MATSUKAWA: Kooperierende Mul Verhaltensbasierte Roboter zur Objektmanipulation. Proz. 1994 IEEE/RSJ Inter Conf Intelligent Robots and Systems, München 1994, 1524-1531.
  - Zusammenarbeit mehrerer mobiler Manipulatoren. Proz. 1996 IEEE/RSJ Inter. Konf. Intelligente Roboter und Systeme, Osaka 1996, 546-553.
- [6] A. BURGHARDT, J. GIERGIEL: Kinematik einer Roboterformation im Großtransport. Polnisch J. Environ. Stud., 20(2011), 41-45.
- [7] J. GIERGIEL, T. BURATOWSKI: Kinematikmodellierung des AmigoBot-Roboter. Mech. Mech. Eng., 14(2010), 57-64.
- [8] A. BURGHARDT: Modelowanie i sterowanie formacjÿ robotów. Oficyna Wydawnicza Politechniki Rzeszowskiej, Rzeszów 2013.
- [9] A. BURGHARDT, W. SKWAREK: Robotergruppenkinematik. Modell. Eng., 69(2019), 12-16.